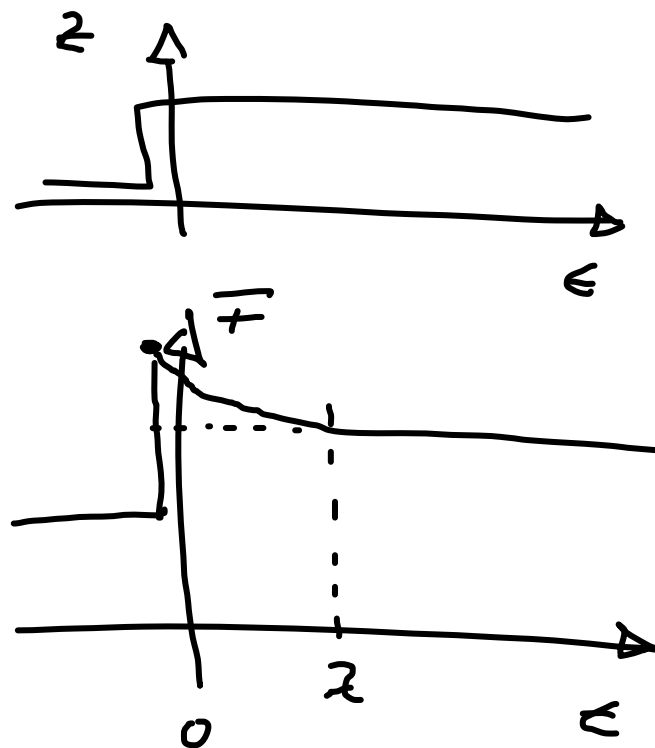
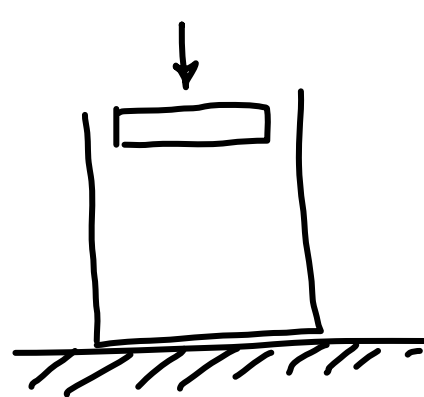


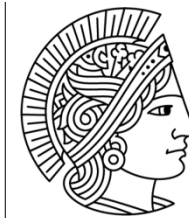
Relaxationsvorgänge



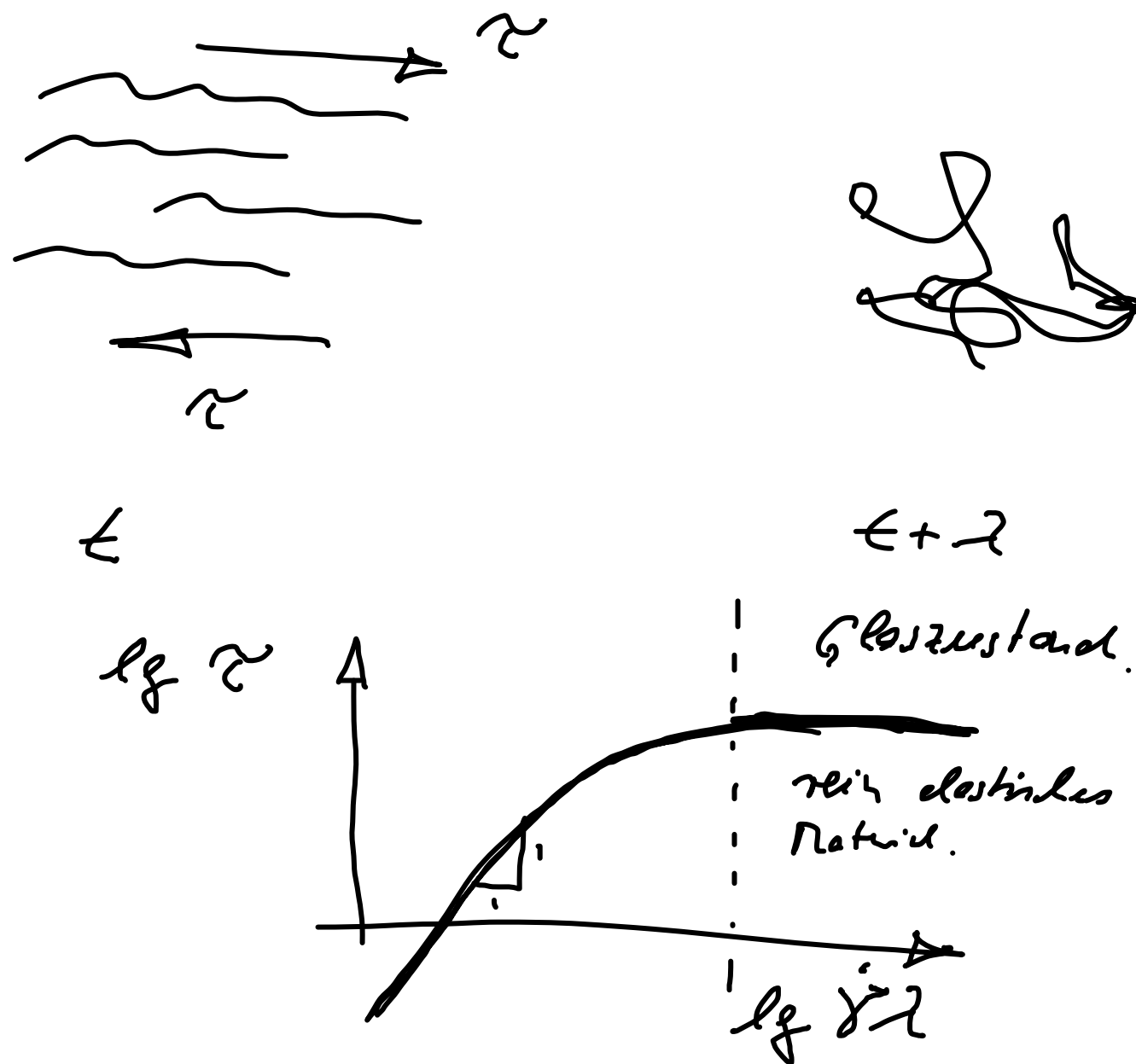
2 Relaxationszeit.

$$\lambda \sim \frac{C_V V_{S_0}}{k A} \sim \frac{\text{Änderung innerer Energie}}{\text{Wärmefluss}}$$





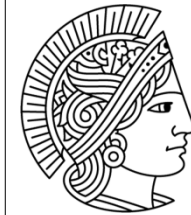
Prof. Dr. Ing. Peter Pelz
Sommersemester 2010
Grundlagen der Turbo-
maschinen und Fluidsysteme
Vorlesung 15



Im Glaszustand verhält sich das Material
elastisch.

Und es kann zu einer
Instabilität kommen, die
Schmelzbrand genannt wird.

- ▷ Knetpresse
- ▷ Spritzgießösch
- ▷ Extrusion von Polymeren.



TECHNISCHE
UNIVERSITÄT
DARMSTADT



Prof. Dr. Ing. Peter Pelz
Sommersemester 2010
Grundlagen der Turbo-
maschinen und Fluidsysteme
Vorlesung 15

Mit zunehmender Schicht steigt

die elastische Spannung



Normalspannung

$$\sigma \sim \dot{\gamma}^2 + O(\dot{\gamma}^4)$$

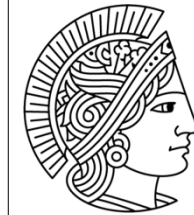
Die Schubspannung

$$\tau \sim \dot{\gamma} + O(\dot{\gamma}^3)$$

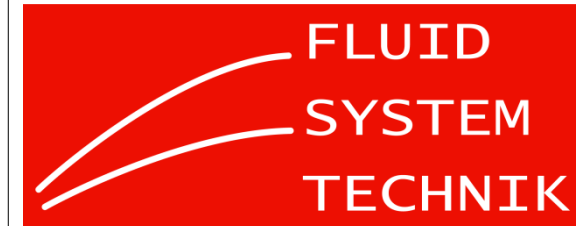
Die Normalspannung ist eine gerade Funktion

von $\dot{\gamma}$

Die Schubspannung τ ist eine ungerade Funktion
von $\dot{\gamma}$



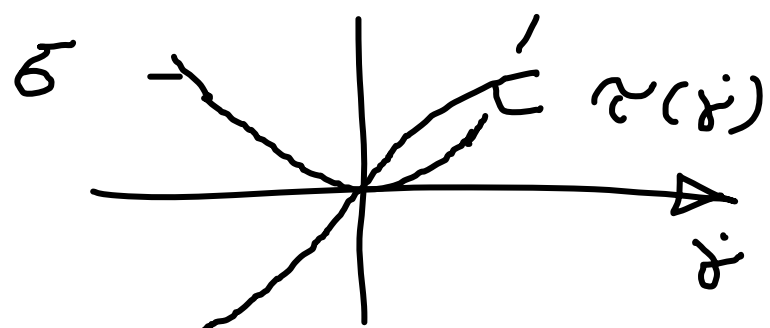
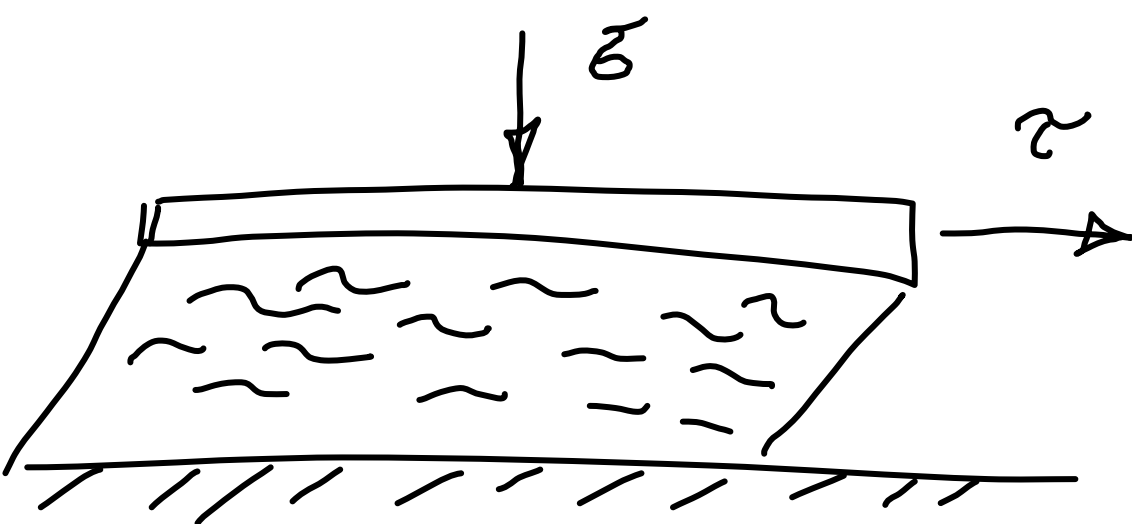
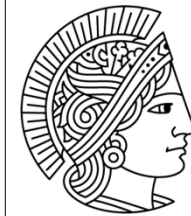
TECHNISCHE
UNIVERSITÄT
DARMSTADT



FLUID
SYSTEM
TECHNIK



Prof. Dr. Ing. Peter Pelz
Sommersemester 2010
Grundlagen der Turbo-
maschinen und Fluidsysteme
Vorlesung 15



$$\sigma = \gamma_0 \dot{\gamma}^2 + \dots$$

$$\dot{\gamma} = \gamma \dot{\gamma} + \dots$$

Weishäfer Zahl

$$We := \frac{\sigma}{\dot{\gamma}} = \frac{\gamma_0}{\gamma} \dot{\gamma}$$

$\dot{\gamma} \uparrow$

$We \uparrow$

γ_{10}

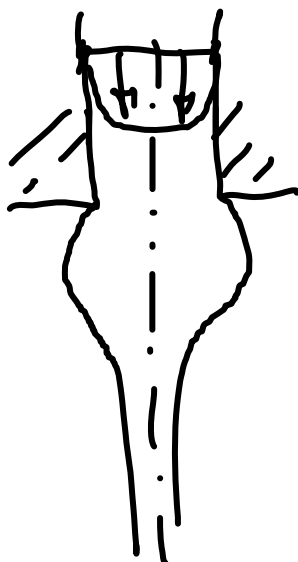
Erster Normalspannungskegel z. st.
Matrixkohäsion

γ

Viskosität Matrixkohäsion.

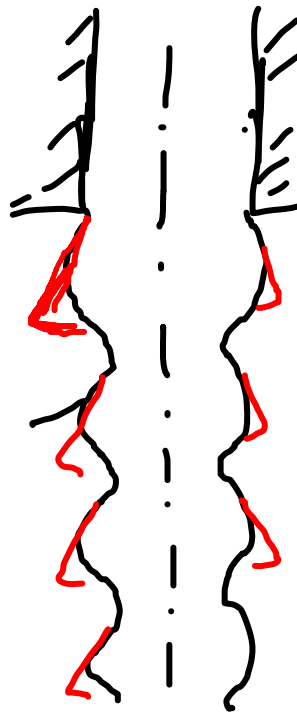
Stick-Slip
an der Wölb.

$We < We_{krit}$



Periodische
Durchmesser-
öle.

$We \approx We_{krit}$



$We > We_{krit}$



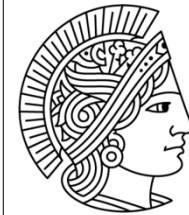
Zweiter Beispiel für Tagesschrift

Auftriebsbeiwert eines Tropfjets

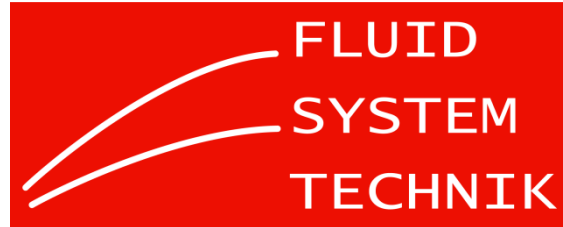
$$C_A := \frac{A}{\frac{\rho}{2} M_\infty^2 L}$$

The diagram shows a supersonic nozzle with a deflection angle α . A green arrow labeled W indicates the weight of the fluid. A red line labeled $A \perp M_\infty$ represents the cross-sectional area perpendicular to the free-stream velocity. A black arrow labeled $s_1 M_\infty$ indicates the free-stream velocity.

$$C_W := \frac{W}{\frac{\rho}{2} M_\infty^2 L}$$

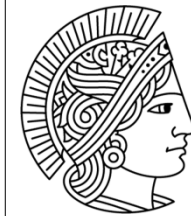


TECHNISCHE
UNIVERSITÄT
DARMSTADT



Dimensionsanalyse

$$A = A(s, M_\infty, L, \gamma, \alpha)$$

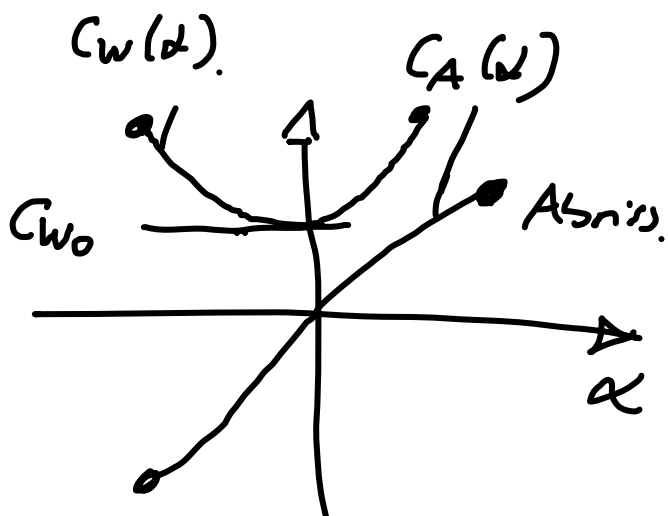


Ergebnis der Dimension

$$C_A = C_A (\text{Re}, \alpha)$$

$$C_W = C_W (\text{Re}, \alpha)$$

$$\text{Re} := \frac{\mu_0 L_S}{\gamma}$$



Gedankenexperiment.

$$C_A = C_{A0} \alpha + \sigma(\alpha^3)$$

$$C_W = C_{W0} + \sigma(\alpha^2).$$

!



Zusammenhang zwischen C_W und C_A ?

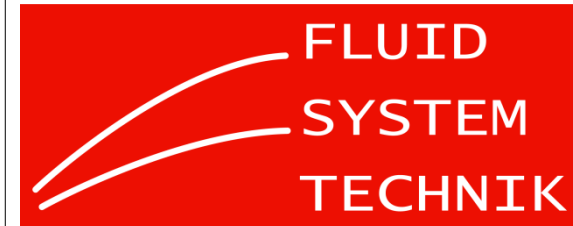
$$C_W = C_{W_0} + \zeta \frac{C_A^2}{C_{W_{\text{vis}}}}$$

Prandtlische
Tragflächentheorie.

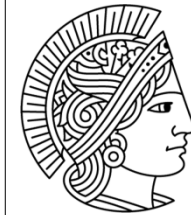
$$C_{W_{\text{vis}}} = \zeta C_A^2 \quad \text{induziert Widerstand.}$$



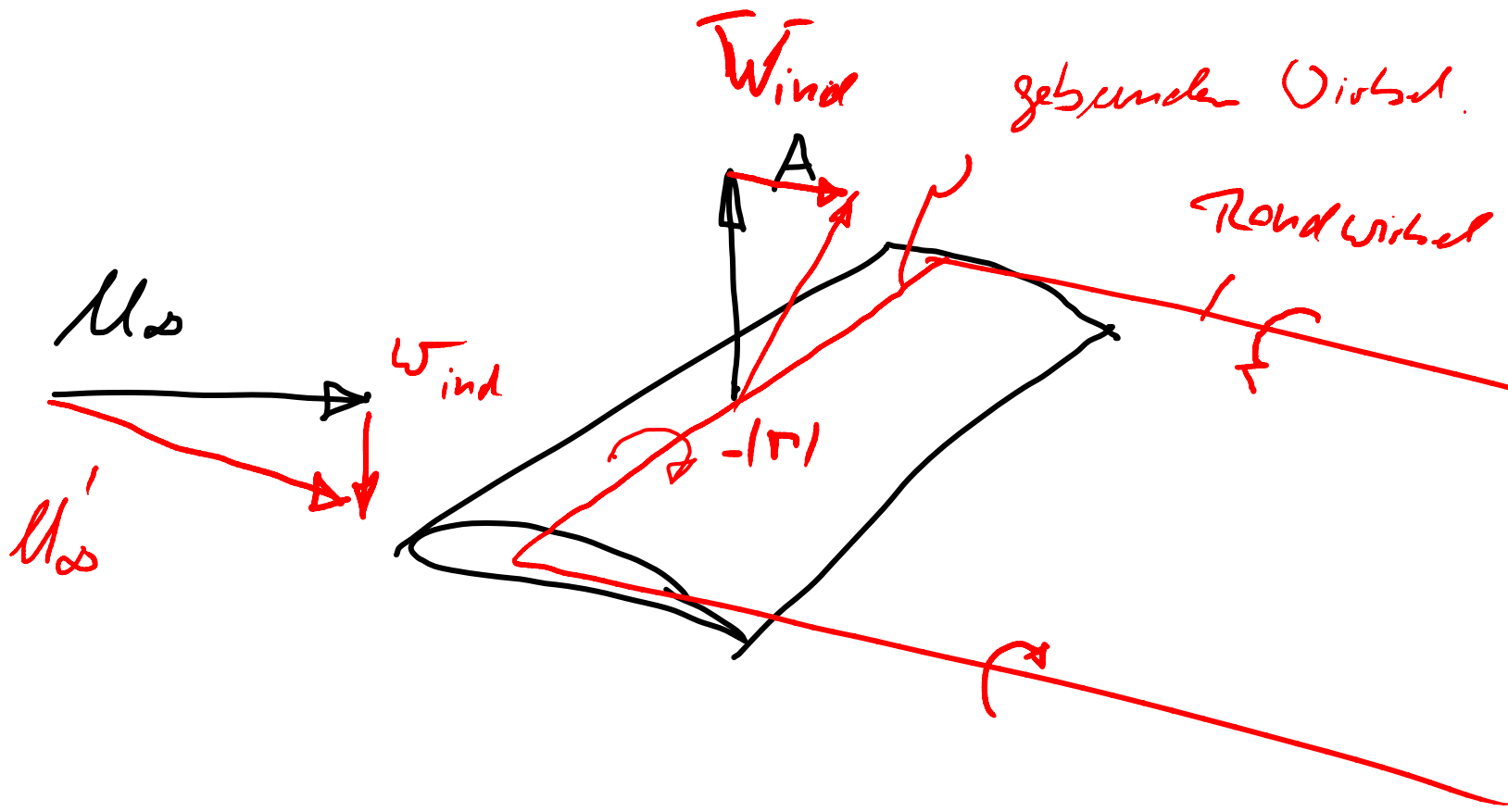
TECHNISCHE
UNIVERSITÄT
DARMSTADT



Prof. Dr. Ing. Peter Pelz
Sommersemester 2010
Grundlagen der Turbo-
maschinen und Fluidsysteme
Vorlesung 15

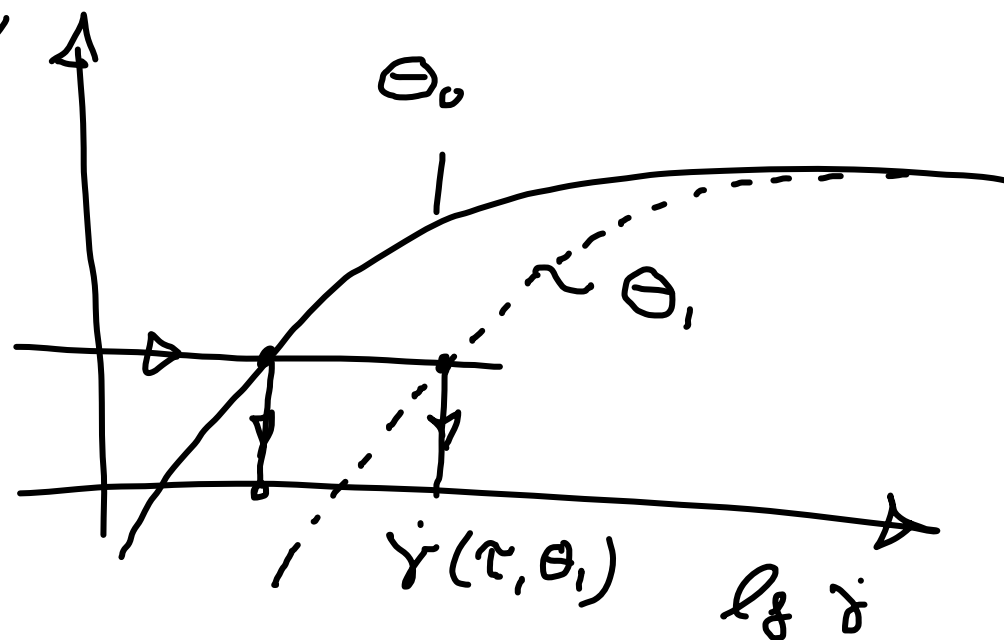


Prof. Dr. Ing. Peter Pelz
Sommersemester 2010
Grundlagen der Turbo-
maschinen und Fluidsysteme
Vorlesung 15



$$A = -g M_\infty \Gamma$$

Gitter: Spur G



$$\dot{Y}(r, \theta_0)$$

$$\dot{Y}(r, \theta) \lambda(\theta) = \text{const.}$$

$$\Rightarrow \frac{\dot{Y}(r, \theta_1)}{\dot{Y}(r, \theta_0)} = \frac{\lambda(\theta_0)}{\lambda(\theta_1)} = \alpha_T$$

Teilkristalline Polymere (PET, PP, PA, ...)

$$\alpha_T = \exp \left[-\frac{E_0}{R} \left(\frac{1}{\Theta_1} - \frac{1}{\Theta_0} \right) \right]$$

Arrhenius Beziehung. E_0 : Aktivierungsenergi
 R : allgemeine Gaskonst.

Amorphe Polymere (Glas, Gummi, ...)

$$\alpha_T = \exp \left[-\frac{C_1 (\Theta_1 - \Theta_0)}{C_2 + \Theta_1 - \Theta_0} \right]$$

WLF - Bezieh.
Ullman - Guss - Form.

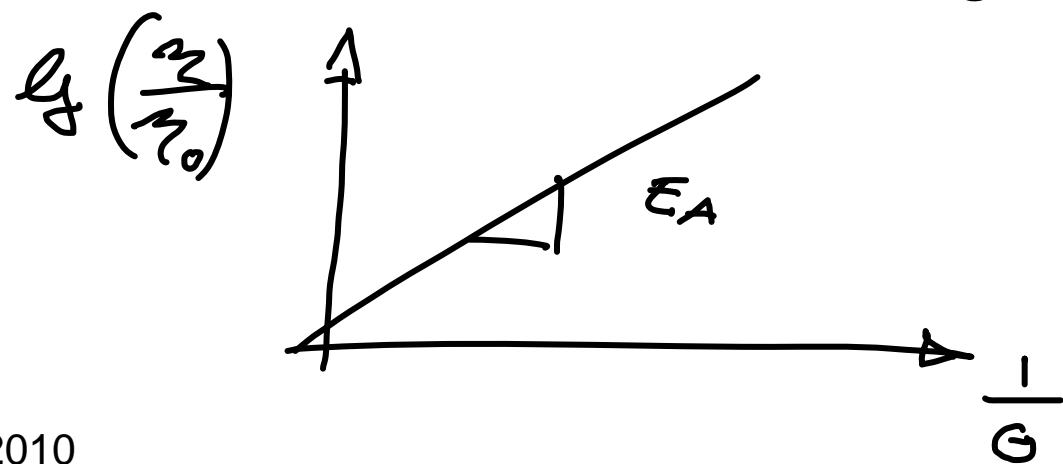


Eisfelder Test:

$$\gamma(\theta), \quad K(\theta)$$

Vermutung $\gamma(\theta) \sim \gamma_0 \exp\left[-\frac{\epsilon_A}{R\theta}\right]$

$$\lg \frac{\gamma(\theta)}{\gamma_0} = - \frac{\epsilon_A}{R\theta}$$



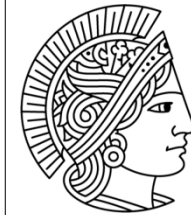
Bernoullische Gleichung und hydrodynamische
Trägheitsarbeit.

Bisher Impulsatz für eine Stromröhre.

$$\frac{D}{Dt} \vec{I} = \vec{F}$$

$$\frac{D}{Dt} \int_{V(t)} \vec{g} \vec{u} dV = \int_S \vec{\tau} d\vec{s} + \int_V \vec{g} \vec{h} dV$$

$$\frac{D}{Dt} \int_m \vec{u} dm = \int_S \vec{n} \cdot \vec{T} d\vec{s} + \int_V \vec{g} \vec{h} dV$$



TECHNISCHE
UNIVERSITÄT
DARMSTADT



Prof. Dr. Ing. Peter Pelz
Sommersemester 2010
Grundlagen der Turbo-
maschinen und Fluidsysteme
Vorlesung 15

$$\int \limits_m \frac{D\vec{m}}{Dt} dm = \int \limits_V \text{div} \vec{T} dV + \int \limits_V \vec{g} \vec{h} dV$$

$$\int \limits_V \left(\beta \frac{D\vec{m}}{Dt} - \text{div} \vec{T} - \vec{g} \vec{h} \right) dV = 0$$

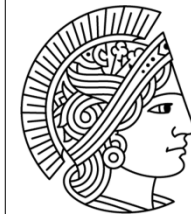
V ist beliebig. und Integriert nach verdeckt.

$$\cancel{\int \frac{D\vec{m}}{Dt} dm} = \text{div} \vec{T} + \vec{g} \vec{h}$$

\approx Mass + Beschleu. = Kräftefluss
über das Tr. v.

Candy-Gleich.
 $\hat{=}$ Impulsatz für
ein materielles
Tr. v.





$$\overline{I} = -P \overline{I}$$

reibungs der Flüssig.

$$S \frac{D\vec{u}}{Dt} = -\nabla P + g\vec{h}$$

Euler-Gleich.



$$\overline{I} = -P \overline{I} + \overline{P}, \quad \overline{P} = 2 \overline{\zeta} \xi,$$

$$\xi = \frac{1}{2} (\nabla \vec{u} + \nabla \vec{u}^T)$$

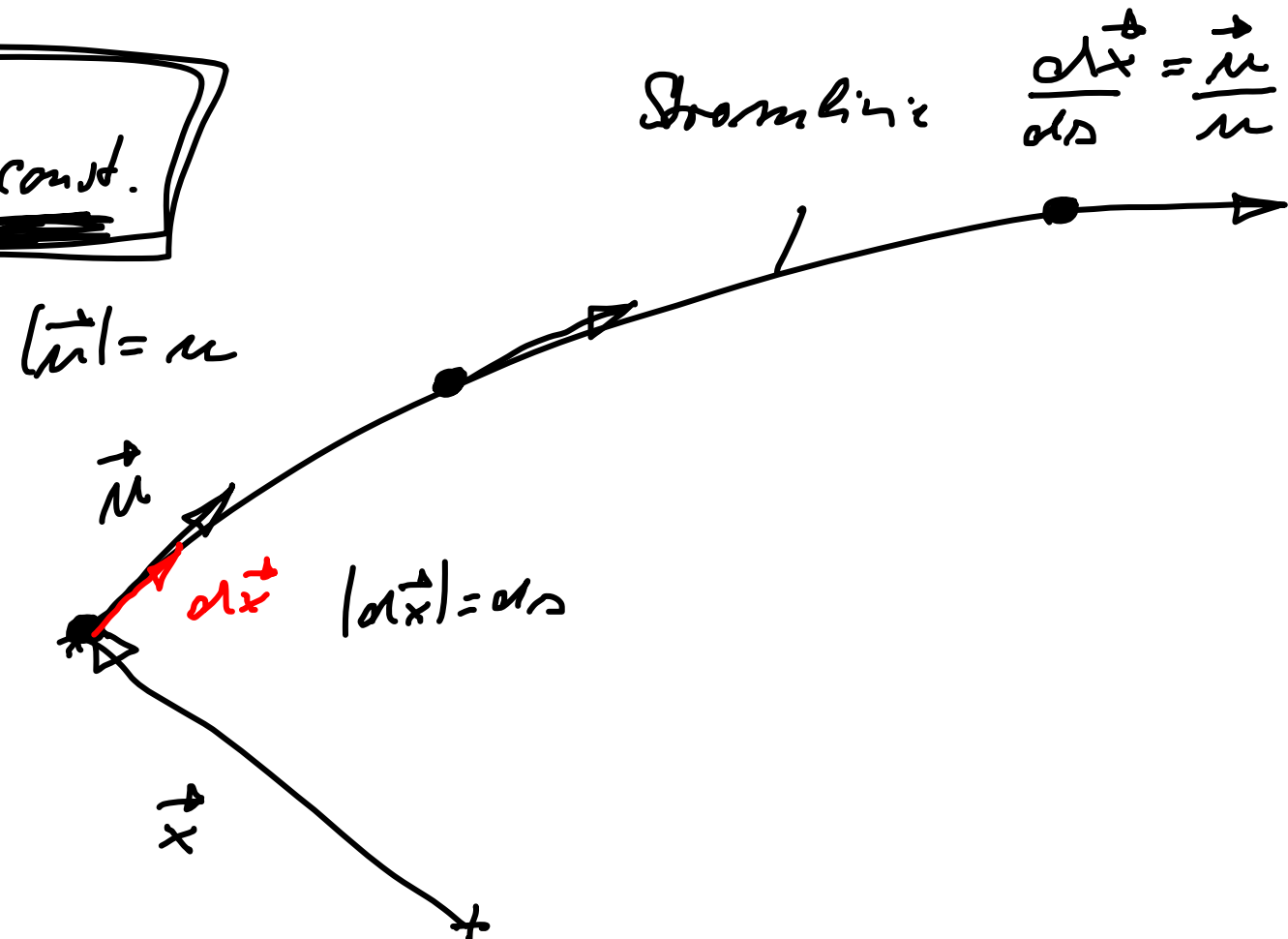
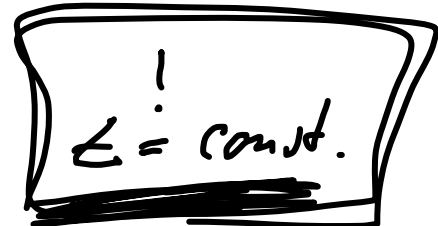
$$S \frac{D\vec{u}}{Dt} = -\nabla P + g\vec{h} + \nabla \cdot (2 \nabla \vec{u})$$

Navier-Stokes-Gleich.

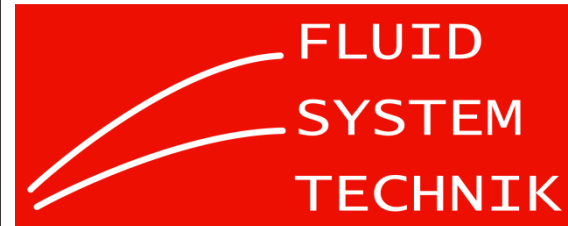


Prof. Dr. Ing. Peter Pelz
Sommersemester 2010
Grundlagen der Turbo-
maschinen und Fluidsysteme
Vorlesung 15

Benennlich fließt ist das Integral der
Energie längs einer Stromlinie.



TECHNISCHE
UNIVERSITÄT
DARMSTADT



Prof. Dr. Ing. Peter Pelz
Sommersemester 2010
Grundlagen der Turbo-
maschinen und Fluidsysteme
Vorlesung 15



$$\frac{D\vec{u}}{Dt} = - \frac{1}{\rho} \nabla p + \vec{h}$$

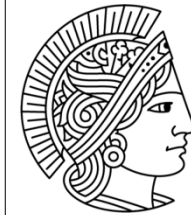
$$\frac{\partial \vec{u}}{\partial t} + \vec{u} \cdot \nabla \vec{u} = - \frac{1}{\rho} \nabla p - \nabla \psi \quad | \cdot d\vec{x}$$

≡

$$\frac{\partial u}{\partial t} dt + d\left(\frac{u^2}{2}\right) = - \frac{\partial p}{\rho} - d\psi$$

$$\int \frac{\partial u}{\partial t} dt + \int d\left(\frac{u^2}{2}\right) + \underbrace{\int \frac{\partial p}{\rho} dt}_{+} + d\psi = \cancel{0}. \quad \checkmark$$

totale Differenzial, d.h.
unabhängig von Intervallausw.

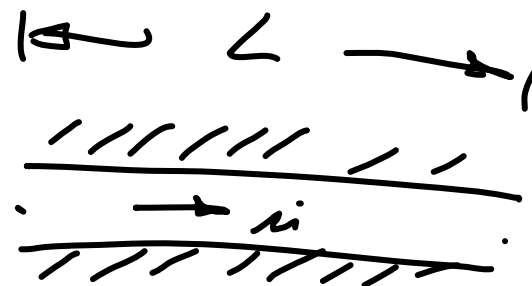


$$\int \frac{\partial M}{\partial t} ds + \frac{u^2}{2} + \psi + \int \frac{dp}{\rho} = C$$

C Bernoulli konst.

Bernoulli gleich.

$$\int \frac{\partial M}{\partial t} ds \sim iL$$



$$P_1 - P_2 = g i L$$

$$M_1 - M_2 \approx \frac{\partial L}{\partial t}$$

